

Влияние инжекционной способности анодного эмиттера на характеристики комбинированных СИТ-МОП-транзисторов.

А. С.Кюрегян¹, А. В. Горбатюк², Б. В. Иванов³,

¹Всероссийский электротехнический институт им. В.И. Ленина.

²Физико-технический институт им. А.Ф. Иоффе Российской академии наук.

³Санкт-Петербургский государственный электротехнический университет «ЛЭТИ» им. В.И. Ульянова (Ленина).

С помощью двумерного численного моделирования изучена возможность оптимизации высоковольтных комбинированных СИТ-МОП-транзисторов (КСМТ) путем локального уменьшения времени жизни вблизи анодного эмиттера и/или снижения его инжекционной способности тремя различными способами. Показано, что с физической точки зрения все четыре способа оптимизации эквивалентны и позволяют уменьшить энергию E_{off} потерь в КСМТ при выключении на 30-40%, как и в биполярных транзисторах с изолированным затвором (БТИЗ). Однако при прочих равных условиях энергия E_{off} в КСМТ оказалась на 15-35% меньше, чем в эквивалентных БТИЗ траншейной конструкции.

1. Введение

В настоящее время биполярные транзисторы с изолированным затвором (БТИЗ) являются наиболее эффективными и распространенным ключевыми элементами для преобразователей средней мощности [1,2]. Наилучшими характеристиками обладают БТИЗ траншейной конструкции, содержащие дополнительный стоп-слой между p^+ -коллектором и высокоомной n -базой [3] (в англоязычной литературе такой прибор называют Carrier Storage Trench Bipolar Transistor, или CSTBT), однако для его производства необходима технологическая база очень высокого уровня (см. Рис. 1а). Гораздо более прост в изготовлении комбинированный СИТ-МОП-транзистор (КСМТ), который является полным функциональным аналогом CSTBT. Это гибридный прибор, содержащий высоковольтный тиристор с электростатическим управлением (СИТ) и управляющий низковольтный МОП-транзистор, соединенный с ним по каскодной схеме [4] (см. Рис. 1б). Результаты экспериментальных исследований опытных образцов КСМТ [5,6] и численного моделирования [7,8] показали, что эти приборы превосходят CSTBT по ряду параметров. Однако в [5-8] не изучались возможности минимизации потерь в КСМТ путем локального уменьшения времени жизни вблизи анодного эмиттера или снижения его инжекционной способности, которые были предложены для

БТИЗ [9-12] и применимы для любых биполярных переключателей с распределенными по площади микрозатворами [13]. В настоящей работе мы изучим возможность оптимизации СИТ подобным образом с помощью численного моделирования. Будет показано, что (а) с физической точки зрения все способы эквивалентны, (б) оптимизация позволяет уменьшить энергию потерь в КСМТ при выключении E_{off} на 30-40% при фиксированном падении напряжения на открытом состоянии U_{on} и (в) при прочих равных условиях энергия потерь E_{off} в КСМТ во всех случаях на 15-35% меньше, чем в ССТВТ.

2. Конструкции приборов и метод моделирования их характеристик.

Значения геометрических и электрофизических параметров КСМТ и ССТВТ, для которых выполнялись расчеты, приведены в Таблице 1. Распределения легирующих примесей в истоке и затворе СИТ, а также в истоке и коллекторе БТИЗ задавалось функциями Гаусса. Легирование стоп-слоя n_1 в ССТВТ предполагалось однородным. Распределения акцепторов в анодном эмиттере и доноров в буферном n' -слое задавалось функцией ошибок (при $h_p = 10$ мкм и $h_n = 20$ мкм) или функцией Гаусса (при $h_p = 2$ мкм и $h_n = 12$ мкм).

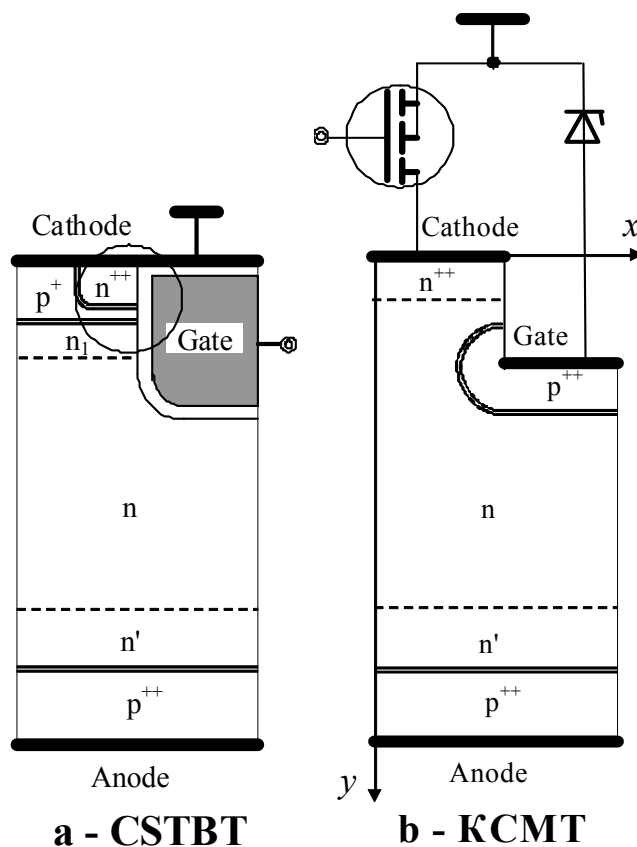


Рис. 1. Схематическое изображение поперечной ячейки ССТВТ и комбинированного СИТ-МОП-транзистора (КСМТ). Окружностью выделен интегрированный в основной чип ССТВТ МОП-транзистор, который в КСМТ изготавливается на отдельном чипе.

Таблица 1.

Наименование параметров	Обозначения	Значения параметров
Параметры управляемого катода СИТ.		
Глубина диффузии доноров в истоке	x_{s_s} , мкм	1,5 мкм
Поверхностная концентрация доноров в истоке	N_s	10^{20} см ⁻³
Глубина p - n -перехода затвора	x_g	3 мкм
Поверхностная концентрация акцепторов в затворе	N_g	10^{18} см ⁻³
Параметры управляемого катода БТИЗ.		
Толщина подзатворного диэлектрика	h_{SiO}	0,015 мкм
Ширина n^+ -истока	l_s	1,67 мкм
Глубина перехода n^+ -истока	x_s	1,5 мкм
Поверхностная концентрация доноров в n^+ -истоке	N_s	10^{20} см ⁻³
Глубины перехода коллектора	x_c	4 мкм
Поверхностная концентрация акцепторов в коллекторе	N_c	10^{18} см ⁻³
Толщина n_1 -стоп-слоя	h_1	1,5 мкм
Концентрация доноров в n_1 -стоп-слое	N_1	10^{16} см ⁻³
Общие постоянные параметры БТИЗ и СИТ		
Ширина ячейки	L	10 мкм
Глубина затворной траншеи	h	8 мкм
Ширина затворной траншеи	l_g	5 мкм
Толщина высокоомной n -базы	w	450 мкм
Концентрация доноров в n -базе	N_d	$1,75 \cdot 10^{13}$ см ⁻³
Напряжение пробоя	U_b	4,6 кВ
Общие переменные параметры БТИЗ и СИТ		
Время жизни электронов и дырок в n -базе	τ_0	2-64 мкс
Время жизни электронов и дырок в n' -слое	τ_{buff}	0,03-64 мкс
Поверхностная концентрация доноров в буферном n' -слое	N_{buff}	$7 \cdot 10^{16}$ - $4 \cdot 10^{18}$ см ⁻³
Толщина буферного n' -слоя	h_n	20 мкм или 12 мкм
Поверхностная концентрация акцепторов в анодном p^+ -слое	N_A	$1,8 \cdot 10^{18}$ - 10^{20} см ⁻³
Толщина анодного p^+ -слоя	h_p	10 мкм или 2 мкм

Как известно, электронные процессы в подобных структурах описываются системой двух уравнений непрерывности и уравнения Пуассона, в которых должны быть учтены все нелинейные эффекты, в том числе, Оже-рекомбинация, зависимости подвижностей $\mu_{e,h}$, коэффициентов диффузии $D_{e,h}$, ширины запрещенной зоны \mathcal{E}_g и времени жизни τ от суммарной концентрации N легирующих примесей. Проблема моделирования усугубляется тем, что структура СИТ и БТИЗ сильно неоднородна по объему, а процессы в прикатодных областях существенно неодномерны. С целью адекватного численного решения столь сложной задачи мы использовали программный продукт TCAD SENTAURUS фирмы [14]. Для построения неоднородной сетки конечных элементов, соответствующей структурам СИТ и БТИЗ, использовались стандартные процедуры этой программы, обеспечивающие «сгуще-

ние» сетки в областях с наибольшими градиентами концентрации легирующих примесей и, особенно, в инверсионном канале МОП-транзистора, встроенного в БТИЗ. Зависимости $\mu_{e,h}(N)$, $D_{e,h}(N)$ и $\mathcal{E}_g(N)$ описывались формулами, предложенными в работах [15] и [16] соответственно. Для определенности мы считали равными параметры τ_{n0}, τ_{p0} в формуле Шокли–Рида для рекомбинации через глубокий уровень, расположенный в середине запрещенной зоны кремния. Зависимость $\tau(N)$ описывалась формулой

$$\tau_{p0}^{-1} = \tau_{n0}^{-1} = \tau^{-1} = \tau_0^{-1} + \tau_N^{-1}(1 + N/N_c), \quad (1)$$

где τ_0 время жизни, соответствующее рекомбинации через однородно распределенные центры, введение которых (например, с помощью электронного или γ -облучения) позволяет регулировать быстродействие приборов, а второе слагаемое в правой части описывает увеличение концентрации «естественных» центров рекомбинации с ростом уровня легирования донорами и акцепторами. Мы использовали значения параметров $\tau_N = 4$ мкс и $N_c = 10^{17}$ см⁻³.

В использованной нами модели коммутация приборов осуществлялась путем мгновенного изменения потенциалов затворов управляющих МОП-транзисторов с -20 В до +20 В (при включении) и обратно (при выключении). Согласно расчетам [7] при этом приведенное сопротивление R_{dsON} открытого МОП-транзистора в CSTBT равно примерно 1 мОм·см². Это же значение R_{dsON} мы использовали для управляющего МОП-транзистора в КСМТ. В качестве регулирующего элемента КСМТ, соединяющего затвор СИТ с заземленным электродом КСМТ, мы использовали стабистор [4] с напряжением стабилизации 1,6 В и емкостью при нулевом смещении 20 нФ/см².

3. Результаты моделирования и их обсуждение.

В этом разделе приведены результаты моделирования коммутационных характеристик приборов в цепи с активной нагрузкой 24 Ом·см², напряжением источника питания $U_{off} = 2.4$ кВ и плотностью тока в открытом состоянии $J_{on} = 100$ А/см². Типичная зависимость мощности $P = U_A J_A$ (U_A и J_A - мгновенные значения анодного напряжения и плотности тока), рассеиваемой КСМТ, от времени приведена на Рис. 2. Средняя по времени плотность мощности потерь равна

$$P_{av} = (U_{on} J_{on} T_{on} + E_{off} + E_{on}) T^{-1}, \quad (2)$$

где T_{on} - длительность импульсов, T^{-1} - частота их повторения, а

$$E_{on} = \int_0^{T_{on}} (P - U_{on} J_{on}) dt, \quad E_{off} = \int_{T_{on}}^T P dt \quad (3)$$

- плотности энергии коммутационных потерь при включении и выключении. Оптимизация приборов состоит в выборе конструкции, которая обеспечит минимальную мощность P_{av} при заданных значениях $U_b, J_{on}, U_{off}, T_{on}$. В стандартных приборах с высокоэффективным анодным эмиттером для этого используется электронное или γ -облучение, которое уменьшает время жизни τ_0 однородно по всей толщине структуры. В дополнение к этому мы использовали четыре других способа:

1) локальное уменьшение времени жизни τ_0 до величины τ_{buff} в прианодной области буферного слоя толщиной 6 мкм при $N_{buff} = 7 \cdot 10^{16} \text{ см}^{-3}$, $h_n = 20$ мкм, $N_A = 10^{20} \text{ см}^{-3}$, $h_p = 10$ мкм; распределения легирующих примесей и времени жизни вблизи анода изображены для этого случая на Рис. 3.

2) уменьшение толщины h_p анодного эмиттера до 2 мкм и изменение поверхностной концентрации акцепторов N_A в пределах $(0.07 - 2) \cdot 10^{18} \text{ см}^{-3}$ при $\tau_{buff} = \tau_0$, $N_{buff} = 7 \cdot 10^{16} \text{ см}^{-3}$ и $h_n = 20$ мкм;

3) изменение поверхностной концентрации доноров N_{buff} в пределах $(0.02 - 1) \cdot 10^{20} \text{ см}^{-3}$ при $h_n = 12$ мкм, $N_A = 10^{20} \text{ см}^{-3}$, $h_p = 2$ мкм и $\tau_{buff} = \tau_0$;

4) изменение поверхностной концентрации доноров N_{buff} в пределах $(0.6 - 5) \cdot 10^{17} \text{ см}^{-3}$ при $h_n = 20$ мкм, $N_A = 10^{20} \text{ см}^{-3}$, $h_p = 10$ мкм и $\tau_{buff} = \tau_0$.

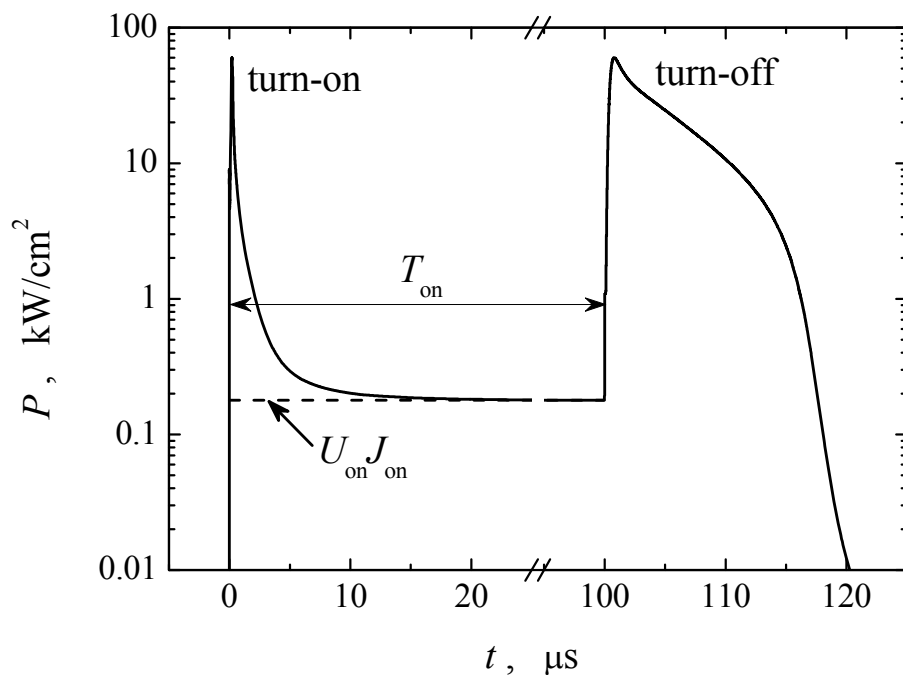


Рис. 2. Зависимость мощности, рассеиваемой стандартным КСМТ за один цикл коммутации при $\tau_0 = \tau_{buff} = 4$ мкс, $N_{buff} = 7 \cdot 10^{16} \text{ см}^{-3}$ и $N_A = 10^{20} \text{ см}^{-3}$.

В последних двух случаях увеличение N_{buff} приводило не только к ухудшению инжекционной способности анодного эмиттера, но и к уменьшению времени жизни в буферном слое в соответствии с формулой (1). Поэтому способы 3 и 4 являются фактически комбинациями способов 1 и 2.

Величины U_{on} и E_{off} определяются главным образом распределениями $p_{\text{on}}(y) \approx n_{\text{on}}(y)$ неравновесных дырок и электронов в толстой высокоомной n -базе открытых приборов. Так как вдали от катода (при $y > 3L$) эти распределения практически одномерны (то есть не зависят от x) [17], то влияние на них электрофизических и геометрических характеристик буферного и анодного слоев проявляется через единственный параметр - отношение $\gamma_{pB} = J_p/J$ плотности тока дырок J_p на границе между n -базой и буферным слоем (в нашем случае при $y = 450$ мкм – см. рис. 3) к полной плотности тока анода J . По сути дела γ_{pB} является коэффициентом инжекции дырок виртуальным эмиттером, состоящим из буферного слоя и реального анодного p^+ -эмиттера. Величина γ_{pB} зависит от τ_{buff} , профиля легирования буферного слоя и соотношения между концентрациями N_A и N_{buff} . Поэтому все четыре описанных выше способа позволяют изменять γ_{pB} , как это изображено на Рис. 4. Уменьшение γ_{pB} приводит к изменениям распределений $p_{\text{on}}(y)$, примеры которых приведены на Рис. 5.

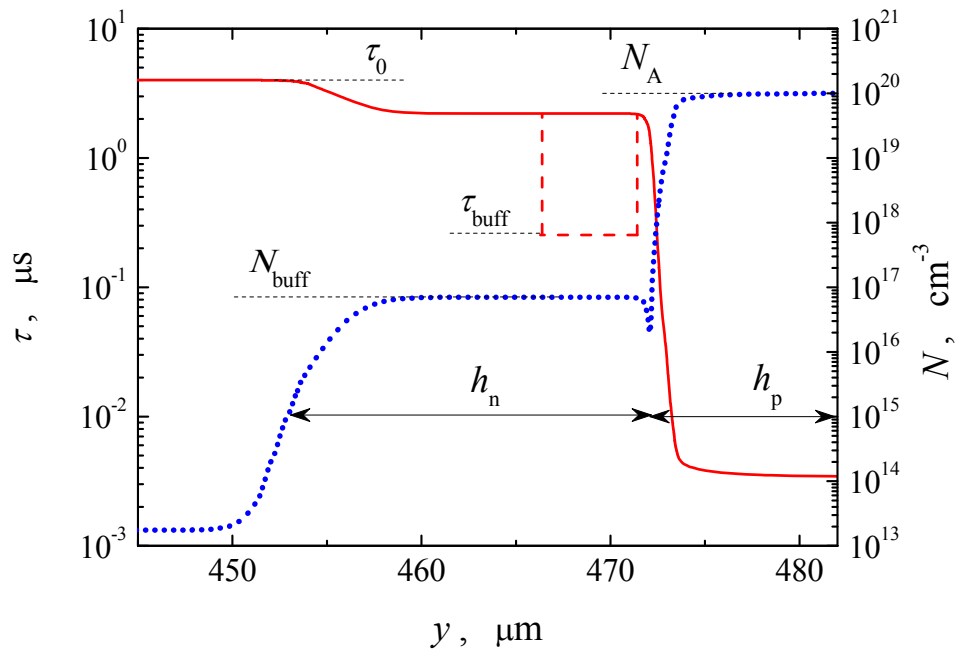


Рис. 3. Распределения легирующих примесей N (точки) и времени жизни носителей заряда τ (линии) около анода. Вертикальные штриховые линии ограничивают область, в которой время жизни уменьшается до величины $\tau_{\text{buff}} \leq \tau$.

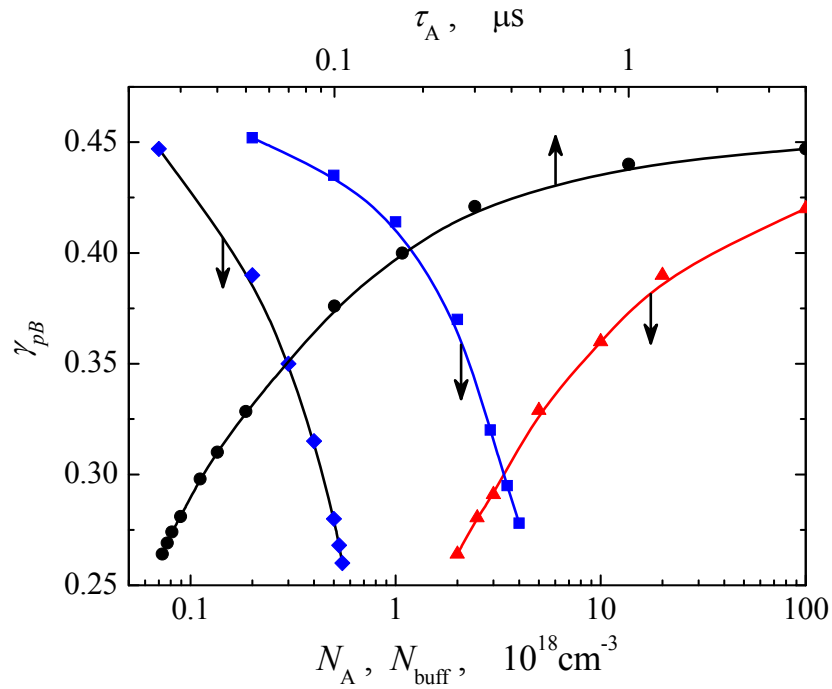


Рис. 4. Зависимости коэффициента инжекции дырок γ_{pB} в n -базу открытого СИТ с $\tau_0 = 4$ мкс от τ_{buff} (кружки, способ 1), от N_A (треугольники, способ 2) и от N_{buff} (квадраты - способ 3 и ромбы – способ 4).

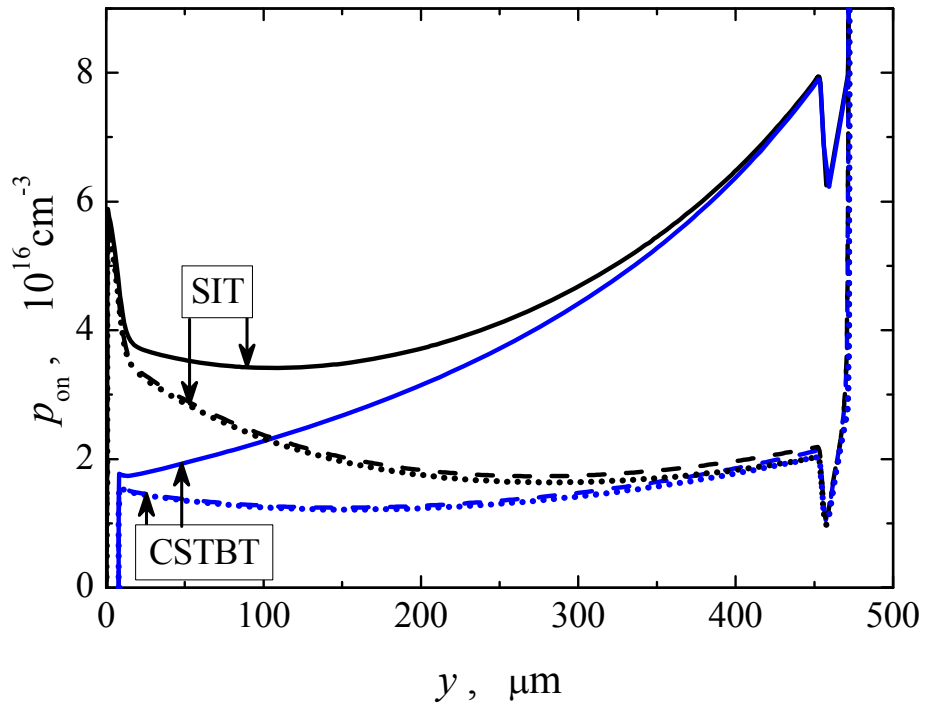


Рис. 5. Распределения дырок в открытых СИТ и БТИЗ при $\tau_0 = 16$ мкс, $N_{buff} = 7 \cdot 10^{16} \text{ см}^{-3}$ и $\tau_{buff} = 16$ мкс, $N_A = 10^{20} \text{ см}^{-3}$ (сплошные линии, стандартные приборы), $\tau_{buff} = 35$ нс, $N_A = 10^{20} \text{ см}^{-3}$ (штриховые линии, способ 1), $\tau_{buff} = 16$ мкс, $N_A = 3.5 \cdot 10^{18} \text{ см}^{-3}$ (точки, способ 2).

Как и следовало ожидать, при уменьшении γ_{pB} падение напряжения U_{on} в открытом состоянии и энергия E_{on} , рассеиваемая при включении, увеличиваются, а энергия E_{off} , рассеиваемая при выключении, уменьшается. Причина таких изменений, пример которых приведен на Рис. 6, очевидна: уменьшение γ_{pB} приводит к замедлению процесса наполнения n -базы дырками (и, следовательно, к росту E_{on}), уменьшению концентрации плазмы в открытом состоянии (то есть к снижению проводимости n -базы и росту U_{on}) и уменьшению времени извлечения накопленного в базе заряда при выключении (то есть к снижению E_{off}). Так как способ регулирования величины γ_{pB} практически не влияет на изменение распределений $p_{on}(y)$ (см. Рис. 5), то зависимости $U_{on}(\gamma_{pB})$ и $E_{off}(\gamma_{pB})$ для всех способов совпадают (см. Рис. 7). Однако энергия E_{on} зависит не только от γ_{pB} , но и от распределения доноров $N(y)$ в буферном слое, как это изображено на Рис. 8. Если $N(y)$ не изменяется (как при использовании способов 1 и 2), то зависимости $E_{on}(\gamma_{pB})$ совпадают. При использовании способа 3 время пролета дырок через буферный слой t_B уменьшается из-за уменьшения h_n и появления встроенного поля, поэтому процесс наполнения n -базы дырками при включении ускоряется, а энергия E_{on} уменьшается при тех же значениях γ_{pB} . Напротив, при использовании способа 4 подвижность дырок в буферном слое уменьшается из-за роста N_{buff} , поэтому время t_B и энергия E_{on} увеличиваются. Заметим также, что величина E_{on} практически не зависит от времени жизни τ_0 в n -базе при прочих равных условиях.

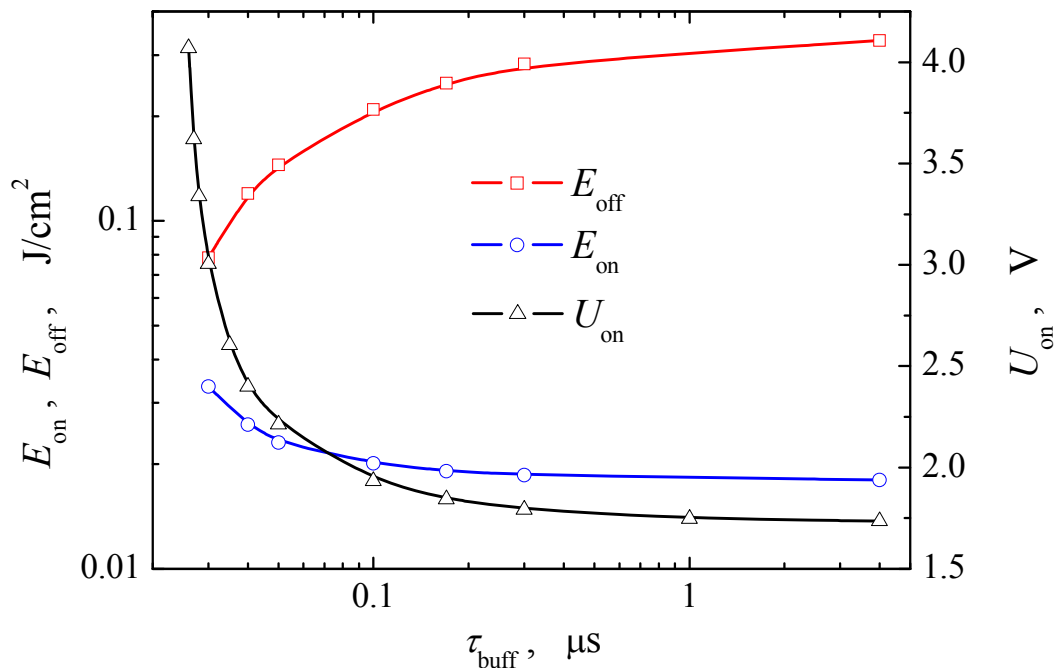


Рис. 6. Зависимости энергий потерь в КСМТ при выключении E_{off} (квадраты), включении E_{on} (кружки) и напряжения в открытом состоянии U_{on} (треугольники) от τ_{buff} (способ 1) при $\tau_0 = 4$ мкс.

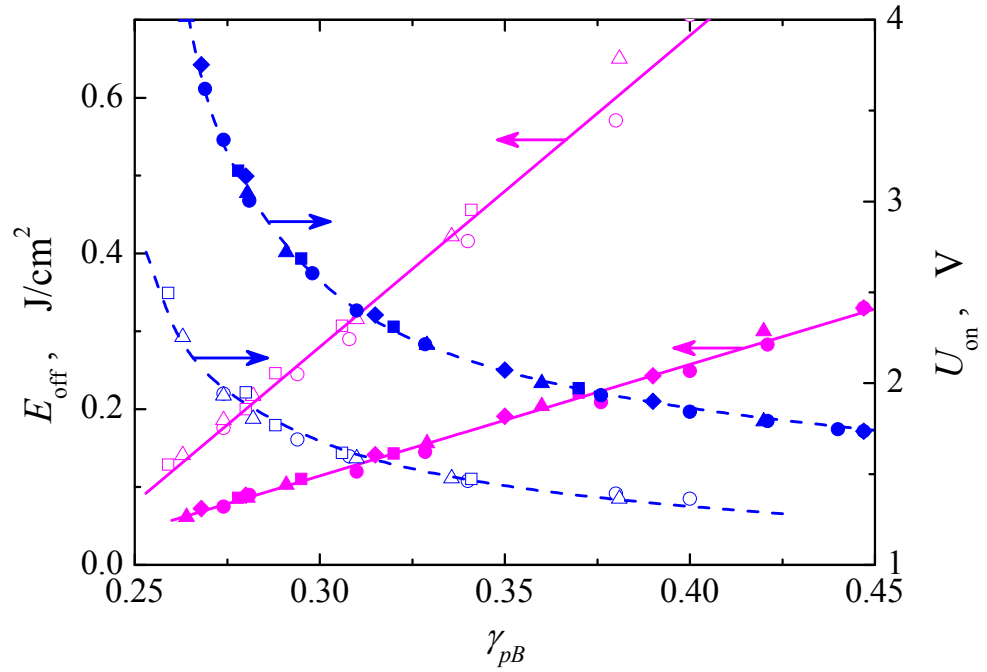


Рис. 7. Зависимости энергии потерь КСМТ при выключении E_{off} (сплошные линии) и напряжения в открытом состоянии U_{on} (штриховые линии) при $\tau_0 = 4$ мкс (темные символы) и $\tau_0 = 16$ мкс (светлые символы) от коэффициента инжекции γ_{pB} , который изменяется при варьировании τ_{buff} (кружки, способ 1), N_A (треугольники, способ 2) и N_{buff} (квадраты - способ 3 и ромбы – способ 4).

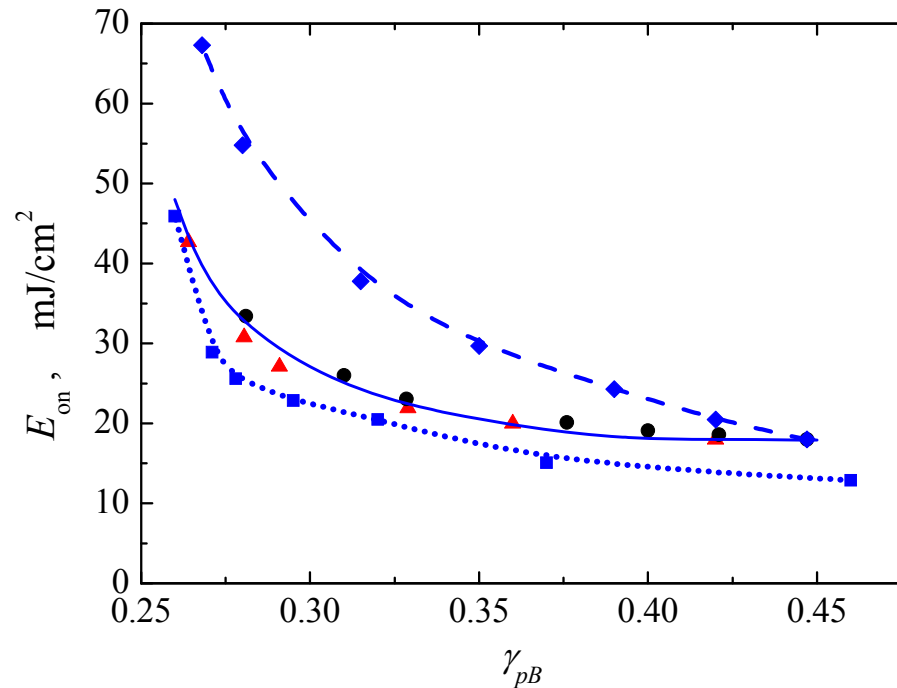


Рис. 8. Зависимости энергии потерь КСМТ при включении E_{on} при $\tau_0 = 4$ мкс от коэффициента инжекции γ_{pB} , который изменяется при варьировании τ_{buff} (кружки, способ 1), от N_A (треугольники, способ 2) и от N_{buff} (квадраты - способ 3 и ромбы – способ 4).

В стандартных приборах с большими γ_{pB} обычно выполняется сильное неравенство $E_{\text{off}} \gg E_{\text{on}}$. Поэтому для минимизации P_{av} используются так называемые «оптимизационные кривые» (trade-off curves), определяющие взаимосвязь между E_{off} и U_{on} при рабочих плотностях тока и коммутируемом напряжении. Совпадение зависимостей $U_{\text{on}}(\gamma_{pB})$ и $E_{\text{off}}(\gamma_{pB})$ для всех способов регулирования γ_{pB} приводит к тому, что так кривые $E_{\text{off}}(U_{\text{on}})$ также совпадают (см. Рис. 9). Однако, в отличие от стандартного способа повышения быстродействия приборов путем уменьшения τ_0 , уменьшение γ_{pB} приводит не только к снижению E_{off} , но и к росту E_{on} , особенно сильному при малых γ_{pB} . Кроме того, при приближении γ_{pB} к некоторому критическому значению (примерно равному 0,26 в рассмотренных нами случаях) напряжение U_{on} начинает очень резко увеличиваться и достигает сотен и даже тысяч вольт, так что фактически прибор перестает включаться. Это накладывает очень жесткие требования на точность воспроизведения параметров буферного слоя и анодного эмиттера при $\gamma_{pB} < 0.3$.

Для оптимизации приборов с использованием формулы (2) можно использовать аппроксимации

$$E_{\text{on}} = \hat{E}_{\text{on}} \exp(U_{\text{on}}/\hat{U}_{\text{on}}), \quad E_{\text{off}} = \frac{\hat{E}_{\text{off}}}{(U_{\text{on}}/\hat{U}_{\text{off}} - 1)^a}, \quad (4)$$

где $\hat{E}_{\text{on,off}}$, $\hat{U}_{\text{on,off}}$ и a - подгоночные параметры, которые зависят от $U_b, J_{\text{on}}, U_{\text{off}}$ и τ_0 . В рассмотренных нами случаях наилучшее совпадение с результатами моделирования получилось при $\hat{E}_{\text{on}} = 18.5 \text{ мДж/см}^2$, $\hat{U}_{\text{on}} = \infty$, $\hat{E}_{\text{off}} = 0.2 \text{ Дж/см}^2$, $\hat{U}_{\text{off}} = 1.15 \text{ В}$, $a = 0.73$ для стандартного прибора с постоянным значением $\gamma_{pB} = 0.45$, $\hat{E}_{\text{on}} = 4.5 \text{ мДж/см}^2$, $\hat{U}_{\text{on}} = 1 \text{ В}$, $\hat{E}_{\text{off}} = 0.12 \text{ Дж/см}^2$, $\hat{U}_{\text{off}} = 1.23 \text{ В}$, $a = 0.75$ при $\tau_0 = 16 \text{ мкс}$ и $\hat{E}_{\text{on}} = 9.3 \text{ мДж/см}^2$, $\hat{U}_{\text{on}} = 2.5 \text{ В}$, $\hat{E}_{\text{off}} = 0.09 \text{ Дж/см}^2$, $\hat{U}_{\text{off}} = 1.5 \text{ В}$, $a = 0.7$ при $\tau_0 = 4 \text{ мкс}$ для приборов с пониженными значениями γ_{pB} .

Все описанные выше закономерности в равной степени относятся и к изученным нами CSTBT. Количественные различия обусловлены относительно низкой инжекционной способностью катодного эмиттера CSTBT. Вследствие этого уменьшение γ_{pB} приводит к тому (см. Рис. 5), что распределение $p_{\text{on}}(y)$ в CSTBT превращаются из наихудшего (когда максимум p_{on} расположен вблизи анода - вариант **A** по терминологии работы [9]) в промежуточное (когда $p_{\text{on}} \approx \text{const}$ - вариант **B**), а в СИТ – из наихудшего в оптимальное (когда максимум p_{on} расположен вблизи катода - вариант **C**). Сравнение «оптимизационных кривых», приве-

денных на Рис. 10, показывает, что при одинаковых значениях U_{on} и прочих равных условиях энергия E_{off} потерь в СИТ оказывается заметно меньше (на 15-35% в рассмотренных нами случаях), чем в эквивалентных CSTBT.

Работа выполнена при поддержке РФФИ (грант 13-07-00943).

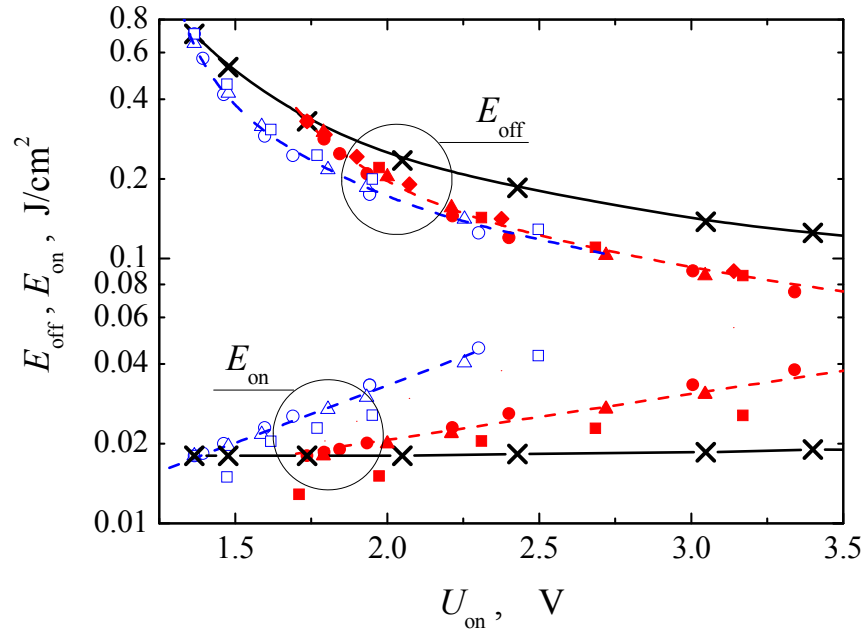


Рис. 9. Взаимосвязи между E_{off} и U_{on} при изменении $\tau_0 = \tau_{buff} = 2 - 64$ мкс ($N_{buff} = 7 \cdot 10^{16}$ см⁻³, $N_A = 10^{20}$ см⁻³, кресты), τ_{buff} (способ 1 - кружки), N_A (способ 2 - треугольники), и N_{buff} (способы 3 - квадраты и 4 - ромбы) при $\tau_0 = 16$ мкс (светлые символы), $\tau_0 = 4$ мкс (темные символы). Линии – расчет по формулам (4).

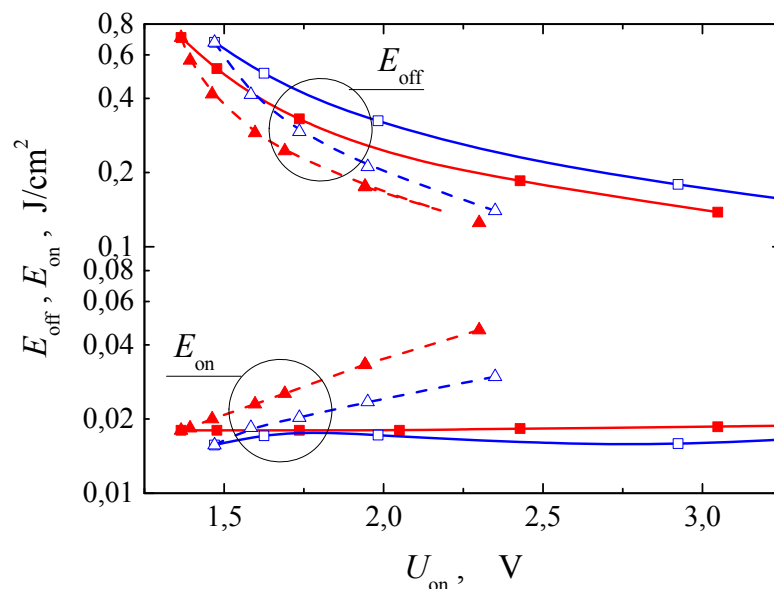


Рис. 10. Взаимосвязи между E_{off} и U_{on} для КСМТ (темные символы) и ССТВТ (светлые символы) при изменении $\tau_0 = \tau_{buff} = 2 - 64$ мкс (квадраты) или только τ_{buff} при $\tau_0 = 16$ мкс (кружки, способ 1).

Литература

1. V. K. Khana. *The Insulated gate bipolar transistor (IGBT): theory and design*. (A Wiley-Interscience publication, 2003) 626 p.
2. B. J. Baliga. *Fundamentals of Power Semiconductor Devices*. (N.-Y., Springer Science, 2008) 1069 p.
3. H. Takahashi et al. *Proc. 8th Int. Symp. on Power Semiconductor Devices and ICs (USA, Maui Hawaii, 1996)* pp. 349–352.
4. О. И. Бономорский, П. А. Воронин. Патент РФ на изобретение №2199795. Бюллетень «Изобретения и полезные модели» Бюл. №6, 27.02.2003.
5. О. Бономорский, П. Воронин, В. Куканов, Н. Щепкин. Компоненты и технологии: Силовая электроника, №1, 18 (2004).
6. О. Бономорский, П. Воронин, В. Куканов, Н. Щепкин. Компоненты и технологии: Силовая электроника, №8, 68 (2004).
7. О. И. Бономорский, А. С. Кюрегян, А. В. Горбатюк, Б. В. Иванов. Электротехника, №2, 51 (2015) [О. I. Vonomorskii, A. S. Kyuregyan, A. V. Gorbatyuk, and B. V. Ivanov. Russian Electrical Engineering, **86**, 93 (2015).].
8. А. С. Кюрегян, А. В. Горбатюк, Б. В. Иванов. Электротехника, 2016, в печати.
9. K. Cheng, F. Udrea, G. A. J. Amaratunga. *Solid-State Electronics*, **44**, 1573 (2000).
10. A. R. Hefner, D. L. Blackburn. *IEEE Trans. on Power Electronics*, **PE-2**, 194 (1987).
11. X. Yuan, F. Udrea, L. Coulbeck et. al. *Solid-State Electronics*, **46**, 75 (2002).
12. D. W. Green, K. V. Vershinin, M. Sweet, E. M. S. Narayanan. *IEEE Trans. on Power Electronics*, **22**, 1857 (2007).
13. А. В. Горбатюк, И. В. Грехов. Письма в ЖТФ, **34**, 61 (2008).
14. *Synopsys Dev. Simulation*, TCAD Sentaurus Manual // <http://www.synopsys.com>.
15. G. Masetti, M. Severi, and S. Solmi, *IEEE Trans. On Electron Devices*, **ED-30**, 764 (1983).
16. D. B. M. Klaassen, J.W. Slotboom, and H. C. de Graaff, *Solid-State Electronics*, **35**, 125 (1992).
17. W. Feiler, W. Gerlach, U. Wiese, *Solid-State Electronics*. **38**, 1781 (1995).